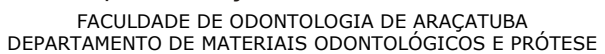
# **RESSALVA**

Atendendo solicitação do(a) autor(a), o texto completo desta dissertação será disponibilizado somente a partir de 28/07/2021.



# UNIVERSIDADE ESTADUAL PAULISTA "JÚLIO DE MESQUITA FILHO"

Campus de Araçatuba





# **JULIANA LUJAN BRUNETTO**

Efeito de diferentes tratamentos de superfície sobre a resistência de união de cerâmicas odontológicas

# **JULIANA LUJAN BRUNETTO**

Efeito de diferentes tratamentos de superfície sobre a resistência de união de cerâmicas odontológicas

Dissertação apresentada à Faculdade de Odontologia de Araçatuba da Universidade Estadual Paulista "Júlio de Mesquita Filho - UNESP, como parte dos requisitos para obtenção do título de Mestre em Odontologia com área de concentração em Prótese Dentária.

Orientador: Prof. Dr. Aldiéris Alves Pesqueira

## Catalogação na Publicação (CIP) Diretoria Técnica de Biblioteca e Documentação – FOA / UNESP

Brunetto, Juliana Lujan.

B895e Efeito de diferentes tratamentos de superfície sobre a resistência de união de cerâmicas odontológicas / Juliana Lujan Brunetto. - Araçatuba, 2020

86 f.: 10 il.; 2 tab.

Dissertação (Mestrado) – Universidade Estadual Paulista, Faculdade de Odontologia, Araçatuba Orientador: Prof. Aldiéris Alves Pesqueira

1. Prótese parcial fixa 2. Cerâmicas odontológicas 3. Ci mentação 4. Projeto auxiliado por computador 5. Cimentos dentários I. T.

Black D3 CDD 617.6

Claudio Hideo Matsumoto CRB-8/5550

# Dedicatória

# **DEDICATÓRIA**

À vida, com o pensamento de poder me reinventar diariamente, enfrentar desafios e almejar vencê-los;

Às centenas de pesquisadores que publicaram seus conhecimentos, ao respeito e perseverança exercidos durante sua realização;

À valorização da ciência, que me fez crescer e expandir meus conhecimentos durante estes anos;

À Deus, por sempre me proteger e me guiar nas horas mais difíceis;

À minha avó Maria Eugenia (in memorian), que sempre incentivou a seguir meus sonhos;

E à minha família pela compreensão, apoio e incentivos diários.

# Agradecimento

## **AGRADECIMENTO**

À Faculdade de Odontologia de Araçatuba (FOA) – UNESP, na pessoa do diretor Prof Tit. Wilson Roberto Poi e, hoje, do diretor Prof. Tit. Glauco Issamu Miyaharapela, pela oportunidade de realização do curso de Mestrado.

Ao Coordenador do Programa de Pós-Graduação em Odontologia, da Faculdade de Odontologia de Araçatuba, da Universidade Estadual Paulista "Júlio de Mesquita Filho" Prof. Associado André Luiz Fraga Brizo, seu vice-coordenador e também chefe do departamento de Materiais Odontológicos e Prótese, Prof. Associado Wirley Gonçalves Assunção e seus membros, pela competência e afinco na condução da nossa pós-graduação.

À Coordenação de Aperfeiçoamento Pessoal de Nível Superior (CAPES), pela concessão da Bolsa de Mestrado durante todo o primeiro ano do curso (Código de Financiamento 001). Meus sinceros agradecimentos por promover o apoio financeiro.

Ao meu orientador, Prof. Ass. Dr. Aldiéris Alves Pesqueira, primeiramente pela confiança em mim depositada. Obrigada por me aconselhar e por sempre alegrar o departamento e nossas vidas, por sempre estar de portas abertas pra me receber e por despender parte do seu tempo a mim. Pelo exemplo de ética, empatia, honestidade, competência e tranquilidade. Agradeço também por todos os ensinamentos compartilhados de forma admirável, e por me guiar nos primeiros passos da pós-graduação, com paciência, carinho e dedicação, com os quais me conduziu neste momento impar em minha vida... Muito obrigada por tudo!

Aos professores que compõem a banca de avaliação, Prof. Ass. Dr. Valentim Adelino Ricardo Barão e ao Prof. Ass. Dr. Leonardo Perez Faverani, por colaborarem e dedicarem seu tempo a examinarem esse trabalho. Obrigada por aceitarem o convite, pela oportunidade de aprender e por serem exemplos de caráter e dedicação à pesquisa odontológica.

Aos Professores do Depto. de Materiais Odontológicos e Prótese e do Depto. de Cirurgia e Clínica Integrada da FOA-UNESP por me acolherem

com amizade e carinho. Especialmente aos professores Marcelo Coelho Goiato, Eduardo Piza Pellizzer, Daniela Micheline dos Santos, Paulo Henrique do Santos, Karina Helga Turcio de Carvalho, Aimée Maria Guiotti, Francisley Ávila Souza, Leonardo Perez Faverani, Ana Paula Farnezzi Bassi, Alessandra Marcondes Aranega e Juliano Milanezi de Almeida, vocês fizeram os meus dias mais felizes! Gostaria de agradecer pessoalmente cada um de vocês por tudo o que fizeram por mim... Disponibilizaram seus equipamentos, me ajudaram física e emocionalmente, muitas vezes me acolheram em suas salas e/ou casas, me respeitaram e sempre estiveram prontos nos momentos em que precisei, tornando meus dias muito mais leves. Muito obrigada, os levarei sempre comigo!

Ao meu colega de pós-graduação, amigo, psicólogo, psiquiatra e, muitas vezes, meu ombro, Paulo Augusto Penitente. Obrigada pelas horas despendidas à mim, pelos conselhos, terapias (em grupo ou não), por sempre me ouvir e me aconselhar da melhor forma, por me fazer entender que, ás vezes, "a vida é assim mesmo". Muito obrigada meu amigo! Ter você por perto foi essencial para que eu conseguisse seguir em frente.

Ao doutorando Marcio Campaner, pelo companheirismo diário, risadas inacabáveis, ajuda, ensinamentos, amizade e simpatia. A "Juliane" sempre estará aqui para te ajudar no que preciso for... Muito obrigada!

À Caroline Freitas Jorge e Sandro Basso Bitencourt, obrigada pela parceria, ajuda e convívio desses anos.

Aos amigos de pós-graduação João Pedro Justino de Oliveira Limírio e Jéssica Marcela de Luna Gomes, nos aproximamos mais no final dessa etapa, mas saibam que sempre terão um pedacinho do meu coração. Obrigada por sempre estarem dispostos a ajudar, a alegrarem e reduzirem nossa tensão diária, pelos almoços, cafés da tarde, jantas, quitutes, idas aos shoppings e centro, pelo acolhimento, amizade e companheirismo, vocês (juntamente ao meu orientador) se tornaram minha família em Araçatuba. Muito obrigada por tudo, de coração!

À Lurian, Isabela, João Paulo, Lucas, Cleber Davi, Fernanda, Emily, Ana Teresa, Henrico, Cecília e Ariane, muito obrigada pelo dia-a-dia, ajuda, risadas e conversas.

À Mariana Vilela, pela amizade, simpatia e acolhimento. Assim como ao Cleidiel Aparecido Araujo Lemos e Betina Chiarelo Commar. Muito obrigada por tudo!

Aos amigos pertencentes a outros departamentos: Lara, Luara, Henrique Hadad, Henrique Rinaldi, Jadison e Raquel por estarem comigo nos "corres" e "perrengues" da vida. Vocês são o presente que Araçatuba me proporcionou! Obrigada por abrirem meus olhos, acalmarem minha alma e distraírem minha mente, por todos os momentos felizes compartilhados e também pelo apoio nos momentos difíceis. Amo vocês!

Aos ex-alunos de graduação Luy, Gabriela, Mayra, Marielise e Gabriel Scheicher por toda ajuda, eficiência, preocupação e proatividade prestadas durante e após o congresso da FOA-UNESP. Vocês facilitaram e alegraram nossos dias intensos.

Agradeço, ainda, a confiança, a disciplina, a amizade, as risadas, o apoio e o carinho de todos os alunos de iniciação científica que fazem ou fizeram parte do nosso grupo de pesquisa. À Adriane, Amanda, Beatriz, Beatryce, Gabriel, Júlia, Leandro, Letícia, Mateus, Roberta e Thiago. E também as alunas Nayla e Luísa, orientadas respectivamente pelas professoras Daniela e Karina.

Aos funcionários Marco, Magda, Dalete, Eduardo, Jander, Carlão, Lilian, Valéria, Cristiane, Ana Claudia e Claudio. Agradeço profundamente o incentivo, auxílio, amparo, a consideração, dedicação e por serem sempre tão solícitos.

Aos demais funcionários da FOA-UNESP que, de uma forma ou de outra, auxiliaram para a realização desse trabalho, meus sinceros agradecimentos.

Aos professores Thais Yumi Umeda Suzuki, Aline Satie Takamiya e Joel Ferreira Santiago Junior. Obrigada por compartilharem seus conhecimentos com cordialidade e informalidade, vocês são exemplos de força e serenidade.

Ao professor Rodrigo Antônio Medeiros, pelo fornecimento das cerâmicas Feldspática e de Silicato de Lítio reforçado por Zircônia. Meus sinceros agradecimentos, sem você essa pesquisa não seria possível!

Aos meus amigos e mentores da vida, Augusto César e Renato Ferreira pelas oportunidades, respeito, confiança, brandura e generosidade. Muito obrigada por tudo e sempre, espero que saibam o quanto sou grata e o quanto aprendo com vocês! Que a nossa amizade e parceria perdure por muitos e muitos anos!

À Bruna Trofino Garcia e ao Daniel Kohl Greghi, **e**ssas amizades sempre estiveram presentes em quase todos os momentos de minha vida e não poderia ser diferente agora. Obrigada por tudo, tenham certeza que as cultivarei para sempre. Amo vocês!

Ao Lucas Daniel Barile e sua família, por sempre me acolherem com tanto carinho ao longo desses anos. Muito obrigada!

À Deus, por sempre colocar pessoas maravilhosas em minha vida, fazendo com que, em meus dias, sempre tenha algo bom, mesmo que nem todos os dias sejam completamente bons.

Aos meus pais, Rose e Francisco, e minha irmã, Mariana, sempre presentes em minha vida com total dedicação, espero que saibam o quanto amo vocês... mesmo discordando de algumas escolhas minhas. Obrigada por estarem dispostos a enfrentar qualquer coisa pela minha felicidade, por me auxiliarem, por sempre incentivarem o conhecimento e a alcançar meus objetivos, com educação, honestidade, dignidade e humildade. Sei que esses anos foram conturbados e cheios de surpresas, mas saibam que os amo e admiro a força de vocês, vocês foram fundamentais para a concretização deste ciclo.

À todos que, ao longo destes anos, fizeram parte do meu dia a dia, e com um sorriso, tornaram-se memoráveis! Obrigada!

# **Epígrafe**

"Uma das lições com as quais eu cresci
foi a de sempre permanecer verdadeiro
consigo mesmo e nunca deixar que as
palavras de alguém o distraiam dos seus
objetivos."



BRUNETTO, JL. **Efeito de diferentes tratamentos de superfície sobre a resistência de união de cerâmicas odontológicas.** 2020. 93f. Dissertação (Mestrado)-Faculdade de Odontologia, Universidade Estadual Paulista, Araçatuba, 2020.

## **RESUMO**

Os objetivos deste estudo foram caracterizar a superfície das cerâmicas para sistema CAD/CAM (F-Feldspática, S-Silicato de lítio reforçado por zircônia e Z-Zircônia de média translucidez) após diferentes précondicionamentos de superfície para cimentação aplicados separadamente ou combinados; e avaliar a resistência de união por microtração (RUM) e padrões de fratura (PF) entre as cerâmicas (F, S e Z) após précondicionamentos de superfície e o cimento resinoso. Foram confeccionados 150 blocos  $5x5x2(\pm 0,5)$ mm para análise topográfica (n=10) e 240 blocos  $(5\times5\times6(\pm0.5))$ mm) (n=8) para análise da resistência de união, divididos em 05 grupos de acordo com tipo de cerâmica, pré-condicionamento de superfície e testes realizados: (A<sub>F</sub>) condicionamento com ácido fluorídrico 10%; (A<sub>F</sub>+P<sub>C</sub>) condicionamento de com ácido fluorídrico 10% + aplicação de primer cerâmico universal (Monobond N); (PA) aplicação de primer cerâmico autocondicionante de passo único (Monobond Etch & Prime); (J<sub>T</sub>+P<sub>A</sub>) jateamento com Al<sub>2</sub>O<sub>3</sub> revestido por SiO<sub>2</sub> (CoJet<sup>™</sup>) + aplicação de primer cerâmico autocondicionante de passo único e (J<sub>T</sub>+P<sub>C</sub>) jateamento com Al<sub>2</sub>O<sub>3</sub> revestido por SiO<sub>2</sub> (CoJet™) + aplicação de P<sub>C</sub>. As análises topográficas foram realizadas após os diferentes pré-condicionamentos. A RU<sub>M</sub> e padrão de fratura foram realizadas após 24 horas de armazenagem em água ou após termociclagem. Para as análises topográficas, foi realizado a análise de variância (ANOVA - dois fatores) seguido pelo teste de Tukey  $(\alpha = 0.05)$ . Para o teste de RU<sub>M</sub> a estatística foi realizada pela análise de variância (ANOVA para medidas repetidas) sob três fatores e teste de Bonferroni (a = 0,05). Os pré-condicionamentos de superfície que usaram a combinação com jateamento apresentaram maiores valores de Ra. A ELS das cerâmicas foi influenciada pelos pré-condicionamentos, aonde J<sub>T</sub>+P<sub>C</sub>

apresentou os maiores valores em F e Z. A KHN alterada penas na cerâmica Z, com um aumento significativo (p<0,05) após jateamentos ( $J_T+P_C$  e  $J_T+P_A$ ). Para cerâmica F, os grupos tratados com jateamento e primers  $(J_T+P_C \ e \ J_T+P_A)$  apresentaram valores de RU<sub>M</sub> superiores aos demais tratamentos. Para cerâmica à base de S com exceção do tratamento com AF isolado, que mostrou baixo valor de RUM, todos os outros préconcidionamentos apresentaram altos valores de RU<sub>M</sub>, sem diferença significante entre eles (p> 0,05). Para Z de média translucidez não houve diferença significativa entre os tratamentos  $J_T+P_C$  e  $J_T+P_A$  que obtiveram os maiores valores de RU<sub>M</sub>. A termociclagem reduziuos valores de RU<sub>M</sub>, com exceção da cerâmica de S condicionada com J<sub>T</sub>+P<sub>C</sub> Quanto ao padrão de fratura, pode-se observar que em todos os grupos houve predominância de falhas adesivas (superior a 70%), independente da termociclagem. Concluise que os pré-condicionamentos influenciaram na topografia estrutural e na RU<sub>M</sub> de todas as cerâmicas. O *primer* cerâmico autocondicionante de passo único (P<sub>A</sub>) pode ser uma alternativa viável ao uso de Ácido fluorídrico 10% + primer cerâmico universal (A<sub>F</sub> + P<sub>C</sub>) na cerâmica feldspática (F) e, ao jateamento com Al<sub>2</sub>O<sub>3</sub> revestido por SiO<sub>2</sub> + *primer* cerâmico universal (J<sub>T</sub> + Pc) na cerâmica silicato de lítio reforçado por zircônia (S) e na zircônia de média translucidez (Z).

**Palavras-chave:** Cerâmica. Projeto Auxiliado por Computador. Cimentação.



BRUNETTO, JL. Effect on the bond strength of different dental ceramics surface treatments. 2020. 93f. Dissertação (Mestrado)-Faculdade de Odontologia, Universidade Estadual Paulista, Araçatuba, 2020.

### **ABSTRACT**

The objectives of this study were to characterize the ceramics surface for CAD / CAM system after different surface preconditions for cementation applied separately or combined; and to evaluate the microtensile bond strength (RU<sub>M</sub>) and fracture patterns (P<sub>F</sub>) between the ceramics (F, S and Z ) after surface preconditioning and the resin cement after aging. 150  $5x5x2 (\pm 0.5)$  mm blocks were made for characterization analysis (n = 10) and 240 blocks (5  $\times$  5  $\times$  6 ( $\pm$  0.5) mm) (n = 8) for bond strength analysis, divided in 05 groups according to type of ceramic, surface preconditioning and tests performed: (AF) conditioning with 10% hydrofluoric acid; (AF + Pc) conditioning with 10% hydrofluoric acid + application of universal ceramic primer (Monobond N); (PA) application of single-step self-etching ceramic primer (Monobond Etch & Prime); (J<sub>T</sub> + P<sub>A</sub>) blasting with SiO2coated Al2O3 (CoJet ™) + application of single-step self-etching ceramic primer and (J<sub>T</sub> + P<sub>C</sub>) blasting with Al2O3 coated with SiO2 (CoJet<sup>™</sup>) + P<sub>C</sub> application The surface characterization analyzes were performed after the different preconditionings. The RUM and fracture pattern were performed after 24 hours of storage in water or after thermocycling. For topographic analysis, ANOVA (two factors) was performed followed by the Tukey test (a = 0.05). For the RU<sub>M</sub> test, statistics were performed by analysis of variance (ANOVA for repeated measures) under three factors and Bonferroni test (a = 0.05). The surface preconditions that used the combination with blasting showed higher values of Ra. The ELS of ceramics was influenced by the preconditionings, where JT + PC presented the highest values in F and Z. The altered KHN feathers in ceramic Z, with a significant increase (p < 0.05) after blasting (JT + PC and JT + PA). For ceramics F, the groups  $J_T + P_C$  and  $J_T + P_A$  showed RU<sub>M</sub> values higher than the other treatments. For S with the

exception of treatment with isolated  $A_F$ , which showed a low  $RU_M$  value, all other preconditions were found to have high  $RU_M$  values, with no significant difference between them (p> 0.05). For Z, there was no significant difference between the treatments  $J_T + P_C$  and  $J_T + P_A$  that obtained the highest  $RU_M$  values. Thermocycling reduced the values, with the exception of S ceramics conditioned with  $J_T + P_C$ . Regarding the fracture pattern, it can be observed that in all groups there was a predominance of adhesive failures (over 70%), regardless of thermocycling. It is concluded that the pre-conditioning influenced the structural characterization and the  $RU_M$  of all ceramics. The single-step self-etching ceramic primer ( $P_A$ ) can be a viable alternative to the use of 10% hydrofluoric acid + universal ceramic primer ( $A_F + P_C$ ) in feldspar ceramic (F) and, when blasting with  $AI_2O_3$  coated with  $SiO_2$  + universal ceramic primer ( $I_T + I_C$ ) in zirconia-reinforced lithium silicate ceramics ( $I_C$ ) and medium translucency zirconia ( $I_C$ ).

**Keywords:** Ceramics. Computer-Aided Design. Cimentation.

# Listas

# LISTA DE ILUSTRAÇÕES

Figura 1 - Fluxograma contendo a distribuição, número dos blocos,
análises e tempos realizados34
Figura 2 - Fluxograma dos materiais e análise 41
Figura 3 - Esquema de análise do ângulo de contato para Energia
Livre de Superfície (ELS)43
Figura 4 - Análises de falha de união46
Figura 5 - Média (DP) da rugosidade superficial (µm) das cerâmicas
após pré-condicionamentos 51
Figura 6 - Média (DP) da energia livre de superfície (mJ/m²) das
cerâmicas após pré-condicionamentos 53
Figura 7 - Média (DP) da microdureza (KHN) das cerâmicas após
pré-condicionamentos 55
Figura 8 - Média (DP) da resistência de união por microtração (Mpa)
das cerâmicas após armazenagem sem (T1) e com
termociclagem (T2) 57
Figura 9 - Distribuição percentual (%) dos padrões de fratura para
cada grupo, após armazenagem em água por 24 horas (T1) 58
Figura 10 - Distribuição percentual (%) dos padrões de fratura para
cada grupo, após termociclagem de 10.000 ciclos (T2) 59

# **LISTA DE TABELAS**

Tabela 1-	Composição	dos	materiais	que	foram	utilizados	neste
estudo							35
Tabela 2 -	- Composição	dos	materiais	que	foram	utilizados	neste
estudo							36

## LISTA DE ABREVIATURAS E SIGLAS

μL Microlitros

μm Micrometro

Å Angström

A<sub>F</sub> Condicionamento com ácido fluorídrico 10%

A<sub>F</sub>+P<sub>C</sub> Condicionamento de com ácido fluorídrico 10% +

aplicação de primer cerâmico universal (Monobond N)

AL<sub>2</sub>O<sub>3</sub> Óxido de alumínio

CAD/CAM computer-aided design / computer-aided manufacturing

CCD charge-coupled device

DP Desvio padrão

ELS Energia livre de superfície

F Feldspática

H Hipótese

HK Penetrador Knoop

ISO Organização Internacional de Normatização

J<sub>T</sub>+P<sub>A</sub> Jateamento com Al<sub>2</sub>O<sub>3</sub> revestido por SiO<sub>2</sub> (CoJet™) +

aplicação de *primer* cerâmico autocondicionante de passo

único

 $J_T+P_C$  Jateamento com  $Al_2O_3$  revestido por  $SiO_2$  (CoJet<sup>TM</sup>) +

aplicação de primer cerâmico universal

KHN Microdureza Knoop

lv Líquido-vapor

m<sup>2</sup> Metros quadrados

mJ Megajoules MPa Mega Pascal

N Newton

nm Nanometros

°C Graus Célsius

P<sub>A</sub> Primer cerâmico autocondicionante de passo único (Monobond Etch & Prime)

P<sub>C</sub> Primer cerâmico universal (Monobond N)

P<sub>F</sub> Padrões de fratura

Ra Rugosidade superficial

RC Resina composta

RU<sub>M</sub> Resistência de união por microtração S Silicato de lítio reforçado por zircônia

s Segundos

SiO<sub>2</sub> Dióxido de silício

sl Sólido-líquido

sv Sólido-vapor

T1 Tempo de envelhecimento após 24 horas de

armazemagem em água

T2 Tempo de envelhecimento após termociclagem de

10.000 ciclos de 5-55°C

Z Zircônia de média translucidez

Sumário

# SUMÁRIO

1 INTRODUÇÃO	27
2 OBJETIVOS	31
3 MATERIAIS E MÉTODOS	33
3.1 Design experimental	33
3.2 Formação dos grupos	33
3.4 Confecção dos espécimes	37
3.4.1 Preparo dos blocos	37
3.4.2 Pré-condicionamentos de Superfície	38
3.4.2.1 A <sub>F</sub>	38
3.4.2.2 A <sub>F</sub> +P <sub>C</sub>	38
3.4.2.3 P <sub>A</sub>	38
3.4.2.4 J <sub>T</sub> +P <sub>A</sub>	39
3.4.2.5 J <sub>T</sub> +P <sub>C</sub>	39
3.4.3 Procedimento de cimentação e secção dos palitos	39
3.5 Variáveis de resposta	42
3.5.1 Rugosidade Superficial (Ra)	42
3.5.2 Energia livre de superfície (ELS)	42
3.5.3 Microdureza Knoop (KHN)	43
3.5.4 Resitencia de união por microtração (RU <sub>M</sub> )	44
3.5.5 Análise dos padrões de fratura (P <sub>F</sub> )	44
3.6 Envelhecimento	47
3.6.1 Armazenagem em água	47
3.6.2 Termociclagem (T2)	47
3.7 Análise dos dados	47
3.7.1 Métodos estatísticos	47
4 RESULTADOS	50
4.1 Rugosidade superficial (Ra)	50
4.2 Energia livre de superfície (ELS)	52

4.3 Microdureza Knoop (KHN)	54		
4.4 Resistência de união por microtração (RUM)	56		
5 DISCUSSÃO	61		
6 CONCLUSÕES	71		
REFERÊNCIAS			
ANEXO	86		



# 1 INTRODUÇÃO

Atualmente, com o avanço da tecnologia CAD/CAM (computer-aided design / computer-aided manufacturing) e diante da melhoria da qualidade dos materiais cerâmicos<sup>1</sup>, as restaurações indiretas podem ser facilmente confeccionadas em consultório, promovendo próteses com estética favorável, de alta resistência à flexão e à fratura, além de apresentarem formato, contorno e adaptação marginal favoráveis. E reduzir o tempo do tratamento de maneira significativa<sup>2-5</sup>.

As cerâmicas vítreas para o sistema CAD/CAM têm sido indicadas para confecção de restaurações minimamente invasivas e o crescente aumento no uso dessas cerâmicas deve-se as suas boas propriedades mecânicas e excelente estética<sup>3,4,6</sup>. Para tal, possuem grande quantidade de matriz vítrea em sua composição, resultando em maior friabilidade e baixa resistência à tração<sup>7,8</sup>. Visando a obtenção de cerâmicas estéticas e com melhores propriedades mecânicas, foram desenvolvidas as novas cerâmicas vítreas reforçadas com zircônia. Dentre as disponíveis no mercado, a cerâmica à base de silicato de lítio reforçado por óxido de zircônio é a mais promissora, prometendo unir as principais vantagens das duas cerâmicas<sup>9-</sup> 11. Isto significa, que apresenta translucidez próxima dos dentes naturais, com resultados altamente estéticos. Ainda, possui resistência flexural 4 vezes maior que as cerâmicas vítreas convencionais12. Outra alternativa para substituir as cerâmicas vítreas convencionais é a zircônia translúcida, essa permite resultado altamente estético com resistência mecânica suficiente para reabilitar dentes anteriores e posteriores 13,14.

Independentemente do tipo de cerâmica utilizado para confecção das próteses, a capacidade de adesão entre a restauração cerâmica e o agente cimentante tem enorme importância na taxa de sucesso<sup>15-17</sup>. Constantemente novas cerâmicas, cimentos resinosos e primers são introduzidos na Odontologia Restauradora, com intuito de reduzir e simplificar protocolos de cimentação, além de melhorar a qualidade e durabilidade da reabilitação oral. Diante disso, o Cirurgião-dentista precisa

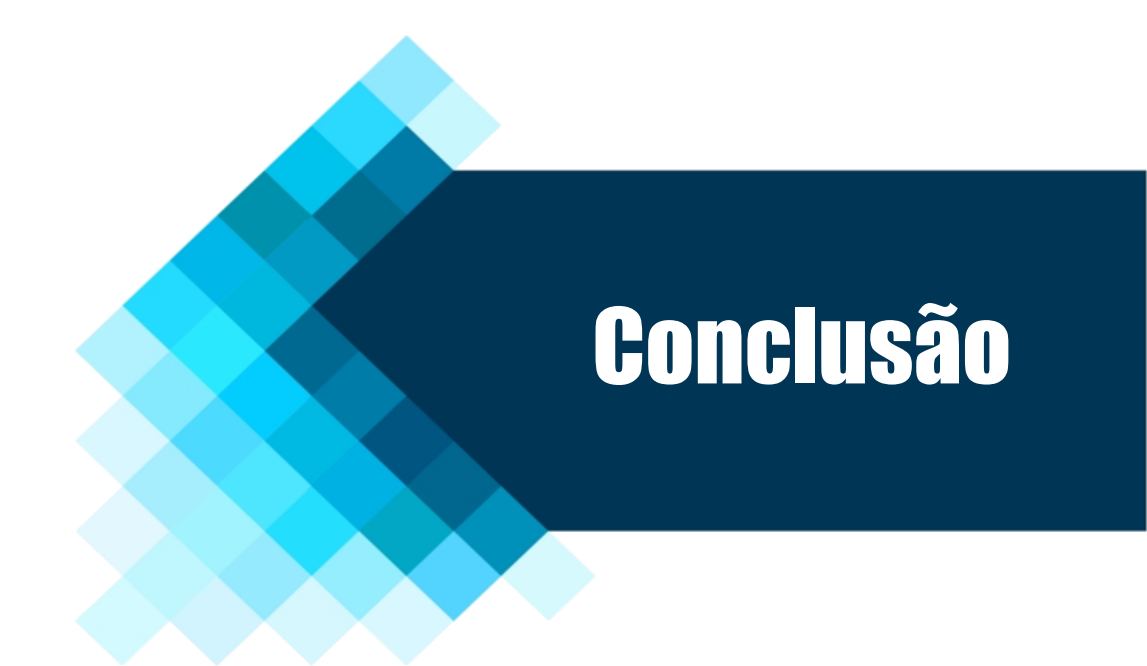
entender que cada cerâmica exige protocolo de pré-condicionamento de superfície e cimentação específico<sup>18-20</sup>. Diversos estudos<sup>21-28</sup> investigaram os principais pré-condicionamentos de superfície disponíveis para melhorar a adesão cerâmica/cimento tais como: tratamentos mecânicos como o jateamento de AL<sub>2</sub>O<sub>3</sub> ou laser; tratamentos químicos com ácido fluorídrico, bifluoreto de amônio, flúor fosfato acidulado, agentes de união ou deposição de plasma de argônio. Além de tratamentos mecânico-químicos onde se utiliza jateamento de AL<sub>2</sub>O<sub>3</sub> revestido por sílica. Esses tratamentos podem ser aplicados separadamente ou combinados.

Nas cerâmicas vítreas convencionais (cerâmica feldspática, leucita e dissilicato de lítio) e nas cerâmicas reforçadas (silicato de lítio reforçada com zircônia) sabe-se que o pré-condicionamento com ácido fluorídrico, seguido da aplicação de silano promovem adesão satisfatória entre a cerâmica e o cimento resinoso<sup>27,29-35</sup>. No entanto, estudos mostraram que o ácido fluorídrico pode afetar negativamente a resistência mecânica das cerâmicas vítreas convencionais<sup>36-40</sup>. Há outro fator importante relacionado as cerâmicas reforçadas, deve-se avaliar se a inclusão de dióxido de zircônia na matriz vítrea da cerâmica influencia no seu processo de adesão. Para zircônia a cimentação adesiva continua sendo um grande desafio<sup>41-44</sup> e não existe concordância quanto ao melhor pré-condicionamento superficial<sup>45</sup>. Apesar do jateamento com partículas de Al<sub>2</sub>O<sub>3</sub> (óxido de alumínio) revestidas com sílica (silicatização) associado a aplicação do silano (silanização) ter sido considerado o padrão ouro para zircônia<sup>42,43,46</sup>. Vários estudos mostraram o efeito negativo do jateamento na resistência mecânica da zircônia<sup>41,47-50</sup>.

Na busca por eliminar os efeitos deletérios do ácido fluorídrico e do jateamento sobre a superfície das cerâmicas e, simplificar as etapas de cimentação, surgiu o primer cerâmico autocondicionante de passo único<sup>51,52</sup>. Esse primer pode ser usado em todos os compósitos de cimentação à base de metacrilato e todas cerâmicas à base de sílica<sup>53,54</sup>. No entanto, não há estudos que avaliaram seu efeito na adesão das

cerâmicas de última geração (cerâmica reforçadas e zircônia translucida) à longo prazo.

Diante do surgimento de novas cerâmicas, faz-se necessário conhecer suas propriedades estruturais e adesivas. Buscando a compreensão da adesão desses novos materiais ao cimento resinoso, somado ao uso de novos pré-condicionamentos de superfície, como primer de passo único. Desse modo, será possível indicar o pré-condicionamento de superfície adequado para cada tipo de cerâmica e conhecer sua influência na resistência de união à longo tempo.



## 6 CONCLUSÕES

Apesar das limitações deste estudo, pode-se concluir que:

## Topografia estrutural

Os pré-condicionamentos de superfície influenciaram na topografia estrutural de todas as cerâmicas.

- Rugosidade superficial (Ra) Os pré-condicionamentos de superfície que usaram a combinação com jateamento apresentaram maiores valores de Ra em todos os tipos de cerâmicas avaliadas;
- Energia livre de superfície (ELS) Cada cerâmica apresentou maior
   ELS após pré-condicionamento de superfície específico;
  - Feldspática (F) O tratamento com primer cerâmico autocondicionante de passo único (PA) e o tratamento com jateamento com Al<sub>2</sub>O<sub>3</sub> revestida por SiO<sub>2</sub> + primer cerâmico universal (J<sub>T</sub>+P<sub>C</sub>);
  - Silicato de lítio reforçado por zircônia (S) Ácido fluorídrico
     10% + primer cerâmico universal (A<sub>F</sub>+P<sub>C</sub>);
  - Zircônia de média translucidez (Z) Foram ambas as combinações com jateamento;
  - o O tratamento  $J_T+P_C$ , apresentou maiores valore de Ra e ELS na cerâmica feldspática e na zircônia de média translucidez;
- Microdureza (KHN) Apenas na zircônia de média translucidez houve aumento da KHN após jateamentos ( $J_T+P_C$  e  $J_T+P_A$ ).

### Resistencia de união

Os pré-condicionamentos de superfície e os tipos de cerâmicas influenciaram nos valores de resistência de união por microtração (RU<sub>M</sub>).

- F Apesar dos grupos tratados com jateamento e primers (JT+P<sub>C</sub> e JT+PA) apresentaram maiores valores de resistência de união, devese considerar os possíveis efeitos deletérios do jateamento na resistência mecânica da cerâmica feldspática;
- S Todos os pré-concidionamentos apresentaram altos valores de RUM, o que pode aumentar as opções do clínico ao cimentar peças protéticas confeccionadas com cerâmicas de silicato de lítio reforçadas zircônia;
- Z A combinação de métodos de condicionamento que propiciem retenção micromecânica + união química, resultaram em maior resistência de união;
- O primer autocondicionante de passo único pode ser uma alternativa viável ao uso de ácido fluorídrico + silano universal na cerâmica feldspática e, ao jateamento + primer universal na cerâmica reforçada e na zircônia;
- A termociclagem influenciou negativamente em todos grupos, com exceção da cerâmica de silicato de lítio reforçada com zircônia condicionada com J<sub>T</sub>+P<sub>C</sub>;
- Quanto ao padrão de fratura, pode-se observar que em todos os grupos houve predominância de falhas adesivas (superior a 70%), independente da termociclagem.



# **REFERÊNCIAS**

- 1. Fraga S, Amaral M, Bottino MA, Valandro LF, Kleverlaan CJ, May LG. Impact of machining on the flexural fatigue strength of glass and polycrystalline CAD/CAM ceramics. Dent. Mater. J. 2017 Nov;33(11):1286–97.
- 2. Preis V, Grumser K, Schneider-Feyrer S, Behr M, Rosentritt M. Cycle-dependent in vitro wear performance of dental ceramics after clinical surface treatments. J Mech Behav Biomed Mater. 2016;53:49–58.
- 3. Mohammadibassir M, Rezvani MB, Golzari H, Moravej Salehi E, Fahimi MA, et al. Effect of Two Polishing Systems on Surface Roughness, Topography, and Flexural Strength of a Monolithic Lithium Disilicate Ceramic. J Prosthodont. 2017;28(1):e172-e180.
- 4. Yuan JC-C, Barao VAR, Wee AG, Alfaro MF, Afshari FS, Sukotjo C. Effect of brushing and thermocycling on the shade and surface roughness of CAD-CAM ceramic restorations. J Prosthet Dent. 2018;119(6):1000-6.
- 5. Chavali R, Nejat AH, Lawson NC. Machinability of CAD-CAM materials. J Prosthet Dent. 2017;118(2):194-9.
- 6. Vicari CB, Magalhães BDO, Griggs JA, Borba M. Fatigue Behavior of Crystalline-Reinforced Glass-Ceramics. J Prosthodont. 2019;28(1):e297-e303.
- 7. Yenisey M, Dede DÖ, Rona N. Effect of surface treatments on the bond strength between resin cement and differently sintered zirconium-oxide ceramics. J. Prosthodont. Res.2019;60(1):36-46.
- 8. Collares K, Corrêa MB, Laske M, Kramer E, Reiss B, Moraes RR, et al. A practice-based research network on the survival of ceramic inlay/onlay restorations. Dent Mater. 2016;32(5):687-94.
- 9. da Cunha LF, Mukai E, Hamerschmitt RM, Correr GM. Fabrication of lithium silicate ceramic veneers with a CAD/CAM approach: a clinical report of cleidocranial dysplasia. J Prosthet Dent. 2015;113(5):355-9.

- 10. Krüger S, Deubener J, Ritzberger C, Höland W. Nucleation Kinetics of Lithium Metasilicate in ZrO2-Bearing Lithium Disilicate Glasses for Dental Application. Int. J. Appl. Glass Sci. 2013;4(1):9-19.
- 11. Srichumpong T, Phokhinchatchanan P, Thongpun N, Chaysuwan D, Suputtamongkol K. Fracture toughness of experimental mica-based glass-ceramics and four commercial glass-ceramics restorative dental materials. Dent. Mater. J. 2019;38(3):2018-77.
- 12. Bergamo ET, Bordin D, Ramalho IS, Lopes AC, Gomes RS, Kaizer M, et al. Zirconia-reinforced lithium silicate crowns: Effect of thickness on survival and failure mode. Dent. Mater. J. 2019;35:1007-16.
- 13. Kaizer MR, Gierthmuehlen PC, Dos Santos MB, Cava SS, Zhang Y. Speed sintering translucent zirconia for chairside one-visit dental restorations: Optical, mechanical, and wear characteristics. Ceram Int. 2017;43(14):10999-1005.
- 14. Ghodsi S, Jafarian Z. A Review on Translucent Zirconia. Eur J Prosthodont Restor Dent. 2018;26(2):62-74.
- 15. Maluly-Proni AT, Oliveira-Reis B, Jardim VR, Vasconcelos G, Assunção WG, Dos Santos PH. Influence of the Application and Light-Curing of Bonding Adhesives Inside Lithium Disilicate Ceramic Crowns. Eur J Prosthodont Restor Dent. 2020;28(2):65-74.
- 16. Sundfeld Neto D, Naves LZ, Costa AR, Correr AB, Consani S, Borges GA, et al. The effect of hydrofluoric acid concentration on the bond strength and morphology of the surface and interface of glass ceramics to a resin cement. Oper. Dent. 2015;40(5):470-9.
- 17. Tian T, Tsoi JK, Matinlinna JP, Burrow MF. Aspects of bonding between resin luting cements and glass ceramic materials Dent. Mater. J. 2014 30(7):147–62.
- 18. Ozcan M, Vallittu PK. Effect of surface conditioning methods on the bond strength of luting cement to ceramics. Dent. Mater. J. 2003;19(8):725-31.

- 19. Inokoshi M, De Munck J, Minakuchi S, Van Meerbeek B. Meta-analysis of bonding effectiveness to zirconia ceramics. J. Dent. Res. 2014;93(4):329-334.
- 20. Alves LMM, Contreras LPC, Campos TMB, Bottino MA, Valandro LF, de Melo RM. In vitro wear of a zirconium-reinforced lithium silicate ceramic against different restorative materials. J Mech Behav Biomed Mater. 2019;100:103403.
- 21. Tribst JPM, Anami LC, Özcan M, Bottino MA, Melo RM, Saavedra GSFA. Self-etching primers vs acid conditioning: impact on bond strength between ceramics and resin cement. Oper. Dent. 2018;43(4):372-9.
- 22. Ruales-Carrera E, Cesar PF, Henriques B, Fredel MC, Özcan M, Volpato CA. Adhesion behavior of conventional and high-translucent zirconia: Effect of surface conditioning methods and aging using an experimental methodology. J Esthet Restor Dent. 2019;31(4):388-97.
- 23. Zhao P, Yu P, Xiong Y, Yue L, Arola D, Gao S. Does the bond strength of highly translucent zirconia show a different dependence on the airborne-particle abrasion parameters in comparison to conventional zirconia? J. Prosthodont. Res. 2019;64(1):60-70.
- 24. Kurtulmus-Yilmaz S, Aktore H. Effect of the application of surface treatments before and after sintering on the flexural strength, phase transformation and surface topography of zirconia. J Dent. 2018;72:29-38.
- 25. Lima EL, Vieira Junior WF, Amaral FLBD, Basting RT, Turssi CP, França FMG. Influence of universal adhesive system application strategies on the long-term bond strength to dentin of CAD-CAM restorative materials. J Adhes Sci Technol. 2019;33(24):2696-706.
- 26. Elias AB, Simão RA, Prado M, Cesar PF, dos Santos GB, da Silva EM. Effect of different times of nonthermal argon plasma treatment on the microtensile bond strength of self-adhesive resin cement to yttria-stabilized tetragonal zirconia polycrystal ceramic. J Prosthet Dent. 2019;121(3):485-91.

- 27. Yavuz T, Ozyilmaz OY, Dilber E, Tobi ES, Kilic HS. Effect of different surface treatments on porcelain-resin bond strength. J Prosthodont. 2017;26(5):446-54.
- 28. Dos Santos DM, da Silva EV, Vechiato-Filho AJ, Cesar PF, Rangel EC, da Cruz NC, et al. Aging effect of atmospheric air on lithium disilicate ceramic after nonthermal plasma treatment. J Prosthet Dent. 2016;115(6):780-7.
- 29. Tzanakakis EGC, Tzoutzas IG, Koidis PT. Is there a potential for durable adhesion to zirconia restorations? A systematic review. J Prosthet Dent, 2016;115(1): 9-19.
- 30. Lohbauer U, Scherrer SS, Della Bona A, Tholey M, van Noort R, Vichi A, et al. ADM guidance-Ceramics: all-ceramic multilayer interfaces in dentistry. Dent. Mater. J. 2017;33(6):585-98.
- 31. Lise DP, Perdigao J, Van Ende A, Zidan O, Lopes GC. Microshear bond strength of resin cements to lithium disilicate substrates as a function of surface preparation. Oper Dent. 2015;40(5):524-32.
- 32. Kalavacharla VK, Lawson NC, Ramp LC, Burgess JO. Influence of etching protocol and silane treatment with a universal adhesive on lithium disilicate bond strength. Oper Dent. 2015;40(4):372-8.
- 33. Ramakrishnaiah R, Alkheraif AA, Divakar DD, Matinlinna JP, Vallittu PK. The effect of hydrofluoric acid etching duration on the surface micromorphology, roughness, and wettability of dental ceramics. Int J Mol Sci. 2016;17(6):822.
- 34. Matinlinna JP, Lung CYK, Tsoi JKH. Silane adhesion mechanism in dental applications and surface treatments: a review. Dent Mater J. 2017;34(1):13-28.
- 35. Blatz MB, Sadan A, Kern M. Resin-ceramic bonding: a review of the literature. J Prosthet Dent. 2003;89(3):268-74.
- 36. Xiaoping L, Dongfeng R, Silikas N. Effect of etching time and resin bond on the flexural strength of IPS e.max Press glass ceramic. Dent Mater J. 2014;30(12):e330-6.

- 37. Venturini AB, Prochnow C, May LG, Bottino MC, Valandro FL. Influence of hydrofluoric acid concentration on the flexural strength of a feldspathic ceramic. J Mech Behav Biomed Mater. 2015;48:241-8.
- 38. Dinato JC, Dinato TR, Sczepanik FSC. Sistema CAD/CAM substituindo o processo de cera perdida na prática clínica com maior precisão, resistência e menor custo, ProteseNews, 2014:22-36.
- 39. Menees TS, Lawson NC, Beck PR, Burgess JO. Influence of particle abrasion or hydrofluoric acid etching on lithium disilicate flexural strength. J Prosthet Dent. 2014;112(5):1164-70.
- 40. Krishna JV, Kumar VS, Savadi RC. Evolution of metal-free ceramics, J Indian Prosthodont Soc. 2009;9(2):70-5.
- 41. Menani LR, Farhat IA, Tiossi R, Ribeiro RF, Guastaldi AC. Effect of surface treatment on the bond strenght between yttria partially stabilized zirconia ceramics and resin cement. J Prosthet Dent 2014;112(2):357-64.
- 42. Gowida M, Aboushelib M. Bonding to Zirconia (A Systematic Review). Open Access J Dent Sci. 2016 Jun;1(1):1-19.
- 43. Subaşı MG, İnan Ö. Influence of surface treatments and resin cement selection on bonding to zirconia. Lasers Medical Sci. 2014 Jan;29(1):19-27.
- 44. Keshvad A, Hakimaneh SMR. Microtensile bond strength of a resin cement to silica-based and Y-TZP ceramics using different surface treatments. J Prosthodont. 2018 Jan;27(1):67-74.
- 45. El-Korashy DI, El-Refai DA. Mechanical properties and bonding potential of partially stabilized zirconia treated with different chemomechanical treatments. J Adhes Dent. 2014;16(4):365-76.
- 46. Rebholz-Zaribaf N, Özcan M. Adhesion to zirconia as a function of primers/silane coupling agents, luting cement types, aging and test methods. J Adhesion Sci Technol. 2017;31(13):1408-21.
- 47. Paranhos MP, Burnett LH Jr, Magne P. Effect Of Nd:YAG laser and CO2 laser treatment on the resin bond strength to zirconia ceramic. Quintessence Int. 2011 Jan;42(1):79-89.

- 48. Samimi P, Hasankhani A, Matinlinna JP, Mirmohammadi H. Effect of Adhesive Resin Type for Bonding to Zirconia Using Two Surface Pretreatments. J Adhes Dent. 2015;17(4):353-9.
- 49. Martins AR, Gotti VB, Shimano MM, Borges GA, Goncalves Lde S. Improving adhesion between luting cement and zirconia-based ceramic with an alternative surface treatment. Braz Oral Res. 2015;29(1):1-7.
- 50. Liu L, Liu S, Song X, Zhu Q, Zhang W. Effect of Nd: YAG laser irradiation on surface properties and bond strength of zirconia ceramics. Lasers Med Sci 2015;30(2):627-34.
- 51. Valencia C, Jesús J, González S, Celeste A. Monobond Etch & Prime, primer acondicionador monocomponente, que permite el grabado y la silanización de las superficies cerámicas en um solo paso. Revista ADM, 2018;75(6):358-69.
- 52. Guimarães HAB, Cardoso PC, Decurcio RA, Monteiro LJE, Almeida LN, Martins WF, et al. Simplified Surface Treatments for Ceramic Cementation: Use of Universal Adhesive and Self-Etching Ceramic Primer. Int. J. Biomater. 2018;2018:1-7.
- 53. Liebermann A, Detzer J, Stawarczyk B. Impact of Recently Developed Universal Adhesives on Tensile Bond Strength to Computer-Aided Design/Manufacturing Ceramics. Oper Dent. 2018;44(4), 386-395
- 54. Chen B, Lu Z, Meng H, Chen Y, Yang L, Zhang H, et al. Effectiveness of pre-silanization in improving bond performance of universal adhesives or self-adhesive resin cements to silicabased ceramics: Chemical and in vitro evidences. Dent Mater J. 2019;35(4):543-53.
- 55. Bottino MA, Snellaert A, Bergoli CD, Özcan M, Bottino MC, Valandro, LF. Effect of ceramic etching protocols on resin bond strength to a feldspar ceramic. Oper Dent. 2015;40(2):E40-E46.
- 56. British Standards Institution. BS ISO 6872: dentistry e ceramic materials. London: BSI; 2015.
- 57. Souza RO, Castilho AA, Fernandes VV, Bottino MA, Valandro LF. Durability of microtensile bond to nonetched and etched feldspar ceramic:

- self-adhesive resin cements vs conventional resin. J Adhes Dent. 2011;13(2):155-62.
- 58. Arai M, Takagaki T, Takahashi A, Tagami J. The role of functional phosphoric acid ester monomers in the surface treatment of yttria-stabilized tetragonal zirconia polycrystals. Dent Mater J. 2017;36:190–4.
- 59. Prado M, Prochnow C, Marchionatti AME, Baldissara P, Valandro LF, Wandscher VF. Ceramic surface treatment with a single-component primer: resin adhesion to glass ceramics. J Adhes Dent. 2018;20(2):99-105.
- 60. Monteiro JB, Oliani MG, Guilardi LF, Prochnow C, Pereira GKR, Bottino MA, et al. Fatigue failure load of zirconia-reinforced lithium silicate glass ceramic cemented to a dentin analogue: effect of etching time and hydrofluoric acid concentration. J Mech Behav Biomed Mater. 2018;77:375-82.
- 61. Murillo-Gomez F, Palma-Dibb RG, De Goes MF. Effect of acid etching on tridimensional microstructure of etchable CAD/CAM materials. Dent Mater J. 2018;34(6):944–55.
- 62. Ruales-Carrera E, Cesar PF, Henriques B, Fredel MC, Özcan M, Volpato CA. Adhesion behavior of conventional and high-translucent zirconia: Effect of surface conditioning methods and aging using an experimental methodology. J Esthet Restor Dent. 2019;31(4):388-97.
- 63. Colombo M, Gallo S, Padovan S, Chiesa M, Poggio C, Scribante A. Influence of Different Surface Pretreatments on Shear Bond Strength of an Adhesive Resin Cement to Various Zirconia Ceramics. Mater. Lett. 2020;13(3):652.
- 64. Saleh NE, Guven MC, Yildirim G, Erol F. Effect of different surface treatments and ceramic primers on shear bond strength of self-adhesive resin cement to zirconia ceramic. Niger. J. Clin. Pract. 2019;22(3):335.
- 65. Ahn JS, Yi YA, Lee Y, Seo DG. Shear bond strength of MDP-containing self-adhesive resin cement and Y-TZP ceramics: Effect of phosphate monomer-containing primers. Biomed Res. Int. 2015;2015:1-6.

- 66. Tanış MÇ, Akay C, Akçaboy TC, Şen M, Kavaklı PA, Sapmaz K. In vitro shear bond strength between fluorinated zirconia ceramic and resin cements. J Adv Prosthodont . 2018;10(3):205-210.
- 67. International Organization for Standardization. Standard, I. ISO 4049 polymer based filling, restorative and luting materials. International Organization for Standardization. 2000;1:27.
- 68. Altinci P, Mutluay M, Tezvergil-Mutluay A. Repair bond strength of nanohybrid composite resins with a universal adhesiveActa Biomater. Odontol. Scand. 2018;4(1):10-9.
- 69. Carrabba M, Vichi A, Louca C, Ferrari M. Comparison of traditional and simplified methods for repairing CAD/CAM feldspathic ceramics. J Adv Prosthodont. 2017;9(4):257-64.
- 70. Van der Mei HC, White DJ, Kamminga-Rasker HJ, Knight J, Baig AA, Smit J, Busscher HJ. Influence of dentifrices and dietary components in saliva on wettability of pellicle-coated enamel in vitro and in vivo. Eur J Oral Sci. 2002;110:434-8.
- 71. Harnett EM, Alderman J, Wood T. The surface energy of various biomaterials coated with adhesion molecules used in cell culture. Coll Surf B: Biointerfaces. 2007;55:90-7.
- 72. Oliveira-Junior OB, Buso L, Fujiy FH, Lombardo GHL, Campos F, Sarmento HR, et al. Influence of polishing procedures on the surface roughness of dental ceramics made by different techniques. Gen Dent. 2013;61(1):e4-8.
- 73. Elias AF, Lopes HP. Materiais dentários: ensaios mecânicos. São Paulo: ed. Santos; 2007.
- 74. Dentistry Testing of Adhesion to Tooth Structure. ISO 11405. 2015.
- 75. Ansari S, Jahedmanesh N, Cascione D, Zafarnia P, Shah KC, Wu BM, et al. Effects of an etching solution on the adhesive properties and surface microhardness of zirconia dental ceramics. J Prosthet Dent. 2018;120(3):447-53.
- 76. Kern M, Wegner SM. Bonding to zirconia ceramic: Adhesion methods and their durability Dent Mater J. 1998;14(1):64-71.

- 77. Strasser T, Preis V, Behr M, Rosentritt M. Roughness, surface energy, and superficial damages of CAD/CAM materials after surface treatment. Clin. Oral Investig. 2018; 22(8):2787-97.
- 78. Tribst JPM, Dal Piva AMDO, Lopes GC, Borges ALS, Bottino MA, Özcan M, et al. Biaxial flexural strength and Weilbull characteristics of adhesively luted hybrid and reinforced CAD/CAM materials to dentin: effect of self-etching ceramic primer versus hydrofluoric acid etching. J Adhes Sci Technol. 2020; 34(12):1253-68.
- 79. Blackburn C, Rask H, Awada A. Mechanical properties of resin-ceramic CAD-CAM materials after accelerated aging. J Prosthet Dent. 2018;119(6):954-58.
- 80. Blumer L, Schmidli F, Weiger R, Fischer J. A systematic approach to standardize artificial aging of resin composite cements. Dent Mater J. 2015;31(7):855-63.
- 81. Gale MS, Darvell BW. Thermal cycling procedures for laboratory testing of dental restorations. J Dent.1999;27:89–99.
- 82. Rojpaibool T, Leevailoj C. Fracture resistance of lithium disilicate ceramics bonded to enamel or dentin using different resin cement types and film thicknesses. J Prosthodont. 2015;26(2):141-9.
- 83. Della Bona A, Shen C, Anusavice KJ. Work of adhesion of resin on treated lithia disilicate-based ceramic. Dent Mater J. 2004;20(4):338-44.
- 84. de Oyagüe RC, Monticelli F, Toledano M, Osorio E, Ferrari M, Osorio R. Influence of surface treatments and resin cement selection on bonding to densely-sintered zirconium-oxide ceramic. Det Mater J. 2009;25(2): 172-9.
- 85. Elsaka SE, Elnaghy AM. Mechanical properties of zirconia reinforced lithium silicate glass-ceramic. Dent Mater J. 2016;32(7):908-14.
- 86. Ghorbal GB, Tricoteaux A, Thuault A, Louis G, Chicot D. Comparison of conventional Knoop and Vickers hardness of ceramic materials. J Eur Ceram Soc. 2017;37(6):2531-5.
- 87. Behr M, Zeman F, Baitinger T, Galler J, Koller M, Handel G, Rosentritt M. The clinical performance of porcelain-fused-to-metal precious alloy

- single crowns: chipping, recurrent caries, periodontitis, and loss of retention. Int J Prosthodont. 2014;27(2):153-60.
- 88. Rüttermann S, Braun A, Janda R. Shear bond strength and fracture analysis of human vs. bovine teeth. PLoS One. 2013;8(3): e59181.
- 89. Radovic I, Monticelli F, Goracci C, Vulicevic ZR, Ferrari M. Selfadhesive resin cements: a literature review. J Adhes Dent. 2008;10(4):251-8.
- 90. Kramer N, Lohbauer U, Frankenberger R. Adhesive luting of indirect restorations. Am J Dent. 2000;13:60D-76D.
- 91. Dibenedetto AT. Tailoring of interfaces in glass fiber reinforced polymer composites: a review. Mat Sci Eng A-Struct. 2001;302(1): 74-82.
- 92. Da Silva EM, Miragaya L, Sabrosa CE, Maia LC. Stability of the bond between two resin cements and an yittria stabilized zirconia ceramic after six months of aging in water. J Prosthet Dent. 2014;112:568-75.
- 93. Sattabanasuk V, Charnchairerk P, Punsukumtana L, Burrow MF. Effects of mechanical and chemical surface treatments on the resin-glass ceramic adhesion properties. J Investig Clin Dent. 2017;8(3): e12220.
- 94. Manso AP, Silva NR, Bonfante EA, Pegoraro TA, Dias RA, Carvalho RM. Cements and adhesives for all-ceramic restorations. Dent Clin North Am. 2011;55(2):311-32e.
- 95. Chen JH, Matsumura H, Atsuta M. Effect of different etching periods on the bond strength of a composite resin to a machinable porcelain. J Dent. 1998;26(1):53-8.
- 96. Hooshmand T, Parvizi S, Keshyad A. Effect of surface acidetching on the biaxial flexural strength of two hot pressedglass ceramics. J Prosthodont.2008;17:415–9.
- 97. Puppin-Rontani J, Sundfeld D, Costa AR, Correr AB, Puppin-Rontani RM, Borges GA, et al. Effect of hydrofluoric acid concentration and etching time on bond strength to lithium disilicate glass ceramic. Oper Dent. 2017;42(6):606-15.

- 98. Lanza FJSR, Manso AP, Matinlinna JP, Carvalho RM. Innovative surface treatments for improved ceramic bonding: Lithium disilicate glass ceramic. Int J Adhes Adhes. 2018;82:60-6.
- 99. Franz A, Raabe M, Lilaj B, Dauti R, Moritz A, MüBig D, et al. Effect of two different primers on the shear bond strength of metallic brackets to zirconia ceramic. BMC Oral Health. 2019;19(1):51.
- 100. Shin YJ, Shin Y, Yi YA, Kim J, Lee IB, Cho BH, et al. Evaluation of the shear bond strength of resin cement to Y-TZP ceramic after different surface treatments. Scanning. 2014;36(5):479-86.
- 101. Sciasci P, Abi-Rached FO, Adabo GL, Baldissara P, Fonseca RG. Effect of surface treatments on the shear bond strength of luting cements to Y-TZP ceramic. J Prosthet Dent. 2015;113(3):212-9.
- 102. de Souza GM, Silva NR, Paulillo LA, De Goes MF, Rekow ED, Thompson VP. Bond strength to high-crystalline content zirconia after different surface treatments. J Biomed Mater Res B Appl Biomater. 2010;93(2):318-23.
- 103. Gomes AL, Ramos JC, Santos-del Riego S, Montero J, Albaladejo A. Thermocycling effect on microshear bond strength to zirconia ceramic using Er:YAG and tribochemical silica coating as surface conditioning. Lasers Med Sci. 2015;30(2):787-95.
- 104. Marocho SM, Ozcan M, Amaral R, Bottino MA, Valandro LF. Effect of resin cement type on the microtensile bond strength to lithium disilicate ceramic and dentin using different test assemblies. J Adhes Dent. 2013;15(4):361-8.



## **ANEXO**

Normas do International Journal of Adhesion and Adhesives (ISSN: 0143-7496):

https://www.elsevier.com/journals/international-journal-of-adhesion-and-adhesives/0143-7496/guide-for-authors

• Cite Score: 4.8

Fator de impacto: 2.501